

## شبیه‌سازی عددی پانل‌های بتنی مسلح با الیاف، با عملکرد بالا، در برابر بارهای انفجار زیر آب

مهدي كمامي<sup>۱\*</sup>، محمدرضا گودرزی<sup>۱</sup> و جعفر چلبی<sup>۲</sup>

<sup>۱</sup> استادیار گروه عمران دانشگاه آیت الله العظمی بروجردی (ره)

<sup>۲</sup> دانشجوی کارشناسی ارشد مهندسی آب و سازه‌های هیدرولیکی، دانشگاه آیت الله العظمی بروجردی (ره)

مقاله مستقل، تاریخ دریافت: ۱۳۹۵/۰۸/۰۹؛ تاریخ بازنگری: ۱۳۹۶/۰۳/۱۵؛ تاریخ پذیرش: ۱۳۹۶/۰۶/۱۱

### چکیده

انفجار زیر آب یکی از پدیده‌های مخرب سازه‌های دریابی و ساحلی می‌باشد، بنابراین طراحی این گونه سازه‌ها در برابر بار انفجار از اهمیت بسزایی برخوردار است. از این رو پژوهش حاضر به بررسی و مقایسه عملکرد بتنهای الیافی در مقابل بارگذاری انفجار در هوا و زیر آب پرداخته است. بدین منظور در این پژوهش یک بررسی عددی از عملکرد بتنهای الیافی تحت بارگذاری انفجار با در نظر گرفتن اثر رخ کرنش، انجام شده است. در این راستا از مدل‌های عددی برای انفجار در هوا به دو روش تابع انفجار کانوب و روش لاغرانژی-اویلری دلخواه استفاده شد و سپس نتایج آن با نتایج داده‌ها از آزمون انفجار در مقیاس واقعی مقایسه شده است. همچنین برای انفجار زیر آب که از مدل‌سازی به روش لاغرانژی-اویلری دلخواه انجام شده از روش سیستم تک درجه آزادی جهت صحبت‌سنگی استفاده گردیده است. نتایج جابجایی پانل‌ها بدست آمده از پژوهش نشان دهنده اختلاف کمتر از ۱۳/۳ درصد بین روش‌های مدل‌سازی عددی کانوب، لاغرانژی-اویلری، سیستم تک درجه آزادی و نتایج آزمایشگاهی است. علاوه بر این، نتایج جابجایی بیشتر بتنهای الیافی تا حدود ۷۴ میلی‌متر و خسارت مخرب‌تر پانل بتنی برای انفجار زیر آب نسبت به انفجار در هوا و همچنین تاثیر مستقیم حجم میلگرد مصرفی نسبت به درصد الیاف می‌باشد.

**کلمات کلیدی:** انفجار زیر آب؛ کانوب؛ روش لاغرانژی-اویلری؛ پانل مسلح شده با الیاف؛ Ls-dyn.

## Numerical Simulation of Ultra High Performance Fibre Reinforced Concrete Panels Subjected to Underwater Blast Loading

M. Komasi<sup>1,\*</sup>, M. Goodarzi<sup>1</sup>, J. Chalabi<sup>2</sup>

<sup>1</sup> Assistant Prof., Civil Eng., Ayatollah Ozma Borujerd Univ., Boroujerd, Iran.

<sup>2</sup> M.S. Student, Civil Eng., Ayatollah Ozma Borujerd Univ., Boroujerd, Iran.

### Abstract

Underwater blast is a destructive phenomenon for offshore and onshore structures, so it is highly important to design these structures to bear explosive loads. This study has evaluated the performance of fiber reinforced concretes against air blast and underwater blast loadings. For this purpose, the performance of fiber reinforced concretes against explosive loading was analyzed while including the strain rate effect. In this way, two numerical models CONWEP explosion function and arbitrary Euler–Lagrange method were used for air blast, and results were then compared with data from full-scale blast test. A single degree of freedom system was used to validate data for underwater blast obtained through the arbitrary Euler–Lagrange method. Panels displacement results showed that the CONWEP, Euler–Lagrange and single degree of freedom system numerical modeling methods had a difference smaller than 13.3% with experimental results. Additionally, results showed underwater blast led to larger displacements in reinforced concretes up to about 74 mm and more destructive damages to concrete panels than air blast. The amount of rebars had a direct contribution compared to the fiber percentage.

**Keywords:** Blast Underwater; CONWEP; Euler–Lagrange Method; Fibre Reinforced Concrete Panel; Ls-dyn.

\* نویسنده مسئول؛ تلفن: ۰۹۱۶۶۶۲۴۱۸۰؛ فکس: ۰۶۶۴۲۵۱۳۴۷۳

آدرس پست الکترونیک: [Komasi@abru.ac.ir](mailto:Komasi@abru.ac.ir)

## ۱- مقدمه

بهبود عملکرد بتن الیافی نسبت به بتن معمولی در مقابل بار ضربه‌ای را نشان داد [۶]. در این راستا مائو<sup>۹</sup> و بارتنت<sup>۱۰</sup> در پژوهشی به بررسی قابلیت مدل‌سازی رفتار بتن‌های الیافی تحت بارگذاری انفجار با استفاده از برنامه المان محدود غیرخطی الاس داینا<sup>۱۱</sup> و اثر الیاف فلزی و میلگرد فولادی در افزایش مقاومت انفجار در بتن‌های الیافی از طریق مطالعات عددی پرداخته‌اند. نتایج پژوهش مورد بررسی نشان داد که بتن مسلح به میلگرد نسبت به بتن مسلح به الیاف فولادی عملکرد بهتری دارد. اما عدم بررسی بارگذاری انفجار زیر آب از کاستی‌های پژوهش مائو و بارتنت می‌باشد. [۷]. با توجه به طبیعت شکننده بتن در کشش، چندین روش مانند اضافه کردن الیاف به بتن و یا استفاده از مواد دیگر با مقاومت بالا وجود دارد که می‌تواند به افزایش مقاومت بتن در کرنش‌های بالا در حال بارگذاری منجر شود [۸ و ۹]. بتن مسلح به الیاف، دارای عملکرد بالایی است که هر دو خاصیت مقاومت بتن و شکل‌پذیری بالای الیاف را داراست. بتن الیافی دارای مقاومت فشاری بالا تا حدود ۲۰۰ مگاپاسکال و مقاومت کششی در حدود ۲۰ تا ۴۰ مگاپاسکال می‌باشد. علاوه بر این، انرژی شکست این نوع بتن‌ها می‌تواند در حدود ۲۰ تا ۴۰ هزار ژول بر متربمربع باشد که چندین مرتبه بالاتر از انرژی شکست بتن معمولی می‌باشد. بنابراین بتن الیافی در بارگذاری کرنش‌های بالایی را تجربه نموده و در نتیجه مقاومت بسیار بالاتری نسبت به بتن‌های معمولی از خود نشان می‌دهد [۱۰]. برخی از آزمون‌هایی که در مقیاس کامل در این زمینه انجام شده، نشان می‌دهد که تحت همان بارگذاری انفجار بتن الیافی عملکرد بسیار بهتری از بتن با مقاومت معمولی دارد [۱۱]. به منظور درک بهتر رفتار بتن‌های الیافی تحت بارگذاری‌های مختلف انفجاری، آزمایش‌های مختلف از جمله آزمون انفجار در مقیاس کامل و آزمون انفجار با نمونه کوچک مورد نیاز است. با این حال، اگر چه آزمون در مقیاس کامل بهتر می‌تواند رفتار واقعی سازه را بیان کند، اما این نوع آزمون‌ها سخت و پر هزینه است، در حالی که انجام آزمون بر

رفتار سازه‌های بتنی تحت بارگذاری انفجار، موضوع مهمی در مهندسی عمران و مواد است. در چند دهه گذشته پژوهشگران زیادی به بررسی رفتار بتن تحت بارگذاری با دامنه کرنش بالا، با استفاده از مطالعات تجربی و عددی پرداخته‌اند [۱]. از آن جمله پژوهشگرانی که در خصوص بارگذاری ضربه‌ای و انفجاری در بتن، شبیه‌سازی‌هایی انجام داده‌اند، می‌توان به زمانی و رفاهی اشاره نمود که در مورد تحلیل تجربی نرخ کرنش بر رفتار سازه‌های بتنی در بارگذاری‌های حاصل از موج انفجار مطالعه نموده‌اند. در این پژوهش رفتار دینامیکی بتن تحت بارگذاری انفجار به صورت تجربی مورد ارزیابی قرار گرفته و نتایج حاصل با داده‌های نظری مقایسه شده است. که افزایش ظرفیت باربری را نشان می‌دهد. در این پژوهش همچنین یک مدل ریاضی نیمه تجربی برای رفتار بتن تحت انفجار ارائه گردید. با این وجود این مدل ریاضی تنها برای بتن با مقاومت معمولی کارایی دارد [۲]. لپان<sup>۱</sup> در مورد رفتار دینامیکی سازه‌های بتنی تحت بارگذاری انفجار پژوهشی انجام داده است که در آن رفتار بتن در برابر انفجار و بار ضربه‌ای از طریق نرمافزار اجزاء محدود غیرخطی اتوداین<sup>۲</sup> پیش‌بینی شده است اما عده‌های کاستی این پژوهش این است که تنها یک سازه بتنی با درصد میلگرد ثابت مورد بررسی قرار گرفته است [۳]. نیسترن<sup>۳</sup> در سال ۲۰۰۸ سازه‌های بتنی را تحت بارگذاری قرار داده و اثر جداسدگی در بتن را بررسی کرد و نتایج نشان داد حضور میلگرد در بتن باعث مقاومت بیشتر بتن در مقابل ضربه می‌شود [۴]. ژنگو<sup>۴</sup> و یونگ<sup>۵</sup> تحقیقاتی در مورد تغییرات مدل RHT<sup>۶</sup> برای بهبود شبیه‌سازی عددی پاسخ دینامیکی بتن انجام دادند و نتایج نشان دهنده بهبود مدل اصلاح شده RHT بود. اما با این وجود بتن با مقاومت‌های متفاوت در این پژوهش شبیه‌سازی نشده است [۵]. همچنین گروچ<sup>۷</sup> و گبکن<sup>۸</sup> شبیه‌سازی مدل بتن‌های الیافی را انجام دادند و نتایج

<sup>۱</sup> Leppanen<sup>۲</sup> Autodyn<sup>۳</sup> Nystrom<sup>۴</sup> Zhenguo<sup>۵</sup> Yong Lu<sup>۶</sup> Riedel-Hiermaier-Thomas<sup>۷</sup> Greulich<sup>۸</sup> Gebbeken<sup>۹</sup> Mao<sup>۱۰</sup> Barnet<sup>۱۱</sup> LS-DYNA

نتایج سیستم تک درجه آزادی، مورد صحت سنجی قرار خواهد گرفت.

## ۲- مدل‌های مواد

### ۱-۱- مدل خسارت بتن<sup>۱</sup>

رفتار بتن در نرم‌افزار آل اس داینا به عنوان ماده نوع #۷۲<sup>۲</sup> که به مدل کاراگوزن-کیس<sup>۳</sup> و نام اختصاری کی-سی<sup>۴</sup> شناخته شده است، مدل‌سازی می‌شود. مدل کی-سی به طور گسترهای برای تجزیه و تحلیل پاسخ مواد بتی تحت بارگذاری با نرخ کرنش بالا مورد استفاده قرار می‌گیرد [۱۳]. در مدل کی-سی از دو روش می‌توان برای ارایه رفتار بتن استفاده کرد. روش اول توسط وارد کردن خواص مواد به طور مستقیم به مدل انجام می‌شود که مدل کی-سی را قادر می‌سازد رفتار واقعی با دقیقت معقول از خود نشان دهد. با این حال، این روش نیاز به تعداد زیادی آزمایش ویژگی‌های مدل برای ارایه خواص مواد دارد. در روش دوم، تنها مقاومت فشاری بتن به عنوان ورودی مورد نیاز است و تمام پارامترهای مرتبط دیگر با روش جایگذاری به صورت خودکار محاسبه می‌شوند که با نام روش تولید پارامتر شناخته شده است [۱۴]. اگر چه در روش دوم نیازی به آزمایش یک سری از ویژگی‌های مواد نیست؛ اما به عنوان روش تولید پارامتر و از آنجایی که بر اساس اطلاعات آزمون بتن با مقاومت معمولی می‌باشد، بایستی تغییرات بیشتری در پارامترهای مدل انجام شود تا بتواند مانند رابطه تنش-کرنش، رفتار واقعی و مدل بهتری از مواد را بیان کند. در مدل‌سازی بتن، رفتار کرنش سخت شوندگی و نرم شوندگی را می‌توان با استفاده از مدل پارامتری با ساختار درست بیان نمود. همچنین می‌توان اثر نرخ کرنش در مدل که باعث تغییر در مقاومت فشاری و کششی می‌گردد را برای دقت بیشتر به صورت جداگانه لحاظ نمود [۱۵ و ۱۶]. بنابراین می‌توان مدل کی-سی را با اعمال تغییراتی که در بخش ۲-۱-۲ توضیح داده خواهد شد، برای شبیه‌سازی رفتار بتن با مقاومت بالا مورد استفاده قرار داد.

اساس نمونه کوچکتر آسان‌تر می‌باشد، اما نتایج حاصل از آنها ممکن است با توجه به اثر ابعاد از اندازه واقعی ساختار متفاوت باشد. علاوه بر این با توجه به اینکه بتن‌های الیافی شامل حجم بالای الیاف و تنوع در جهت قرار گیری الیاف می‌باشد، حتی برای نمونه با همان حجم الیاف باعث تفاوت در رفتار این نوع بتن می‌شود که این کار باعث افزایش پیچیدگی درک رفتار از آزمون بتن‌های الیافی است. امروزه رویکرد پژوهشگران بر استفاده از مدل‌سازی عددی است که دارای نتایج قابل اعتمادی می‌باشد [۱، ۸ و ۶]. بنابراین این نوع می‌تواند یک ابزار مهم جایگزین برای مطالعه رفتار بتن‌های الیافی هنگام بارگذاری با نرخ کرنش بالا باشد. در این راستا مدل شبیه‌سازی شده و توسعه یافته باید خواص ساختار مورد مطالعه از جمله مقاومت، منحنی تنش-کرنش و همچنین اثر اندازه را بیان کند. علاوه بر این، مدل باید اثر نرخ کرنش در ساختار را برای شبیه‌سازی مواد و رفتار سازه تحت شرایط بارگذاری با نرخ کرنش بالا در نظر بگیرد [۱۲]. با توجه به موارد یاد شده، پژوهش حاضر به مدل کردن بتن الیافی تحت بارگذاری انفجار در هوا و زیر آب در حالت‌های مختلف پرداخته است. بنابر مطالعات انجام شده، تنها حداقل تغییر مکان مدل مورد توجه بوده است در این حالت آسیب‌های وارده به بتن الیافی پس از بارگذاری انفجار نمی‌تواند پیش‌بینی شود. دلیل آن این است که در اکثر پژوهش‌های انجام شده، رفتار این نوع بتن‌ها با سیستم تک درجه آزادی تخمین زده می‌شود که در آن مدل شکست را نمی‌تواند به درستی به دست آورد. بنابراین، مدل‌سازی بتن‌های الیافی تحت بارگذاری انفجار باید کامل‌تر مورد مطالعه قرار گیرد، بدین ترتیب که هر دو معیار تغییر شکل و آسیب وارده بر بتن باید در نظر گرفته شود، تا بتوان پیش‌بینی قابل اعتمادتری از رفتار آن را بدست آورد. این پژوهش به بررسی و مدل‌سازی رفتار بتن‌های الیافی تحت بارگذاری انفجار در هوا و زیر آب، با استفاده از برنامه اجزاء محدود غیرخطی آل اس داینا و اثر الیاف فلزی و میلگرد فولادی در افزایش مقاومت انفجار در بتن‌های الیافی از طریق مطالعات عددی می‌پردازد. در این راستا نتایج پیش‌بینی شده برای انفجار در هوا با نتایج بدست آمده از آزمایش و برای انفجار زیر آب با

<sup>1</sup> Concrete Damage Model

<sup>2</sup> 072\_MAT\_CONCRETE\_DAMAGE

<sup>3</sup> Karagozian & Case

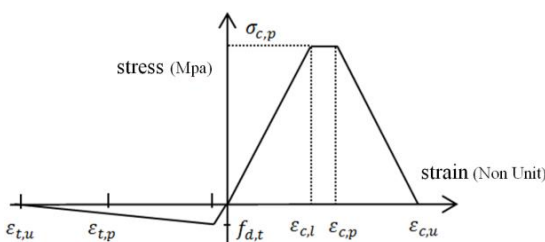
<sup>4</sup> K&C

### ۲-۱-۲- تعیین پارامترهای مدل کی-سی

با توجه به معادلات (۱) تا (۳) هشت پارامتر نیاز به تعیین مقدار دارند. پارامترهای  $a_{0y}$ ,  $a_{2y}$ ,  $a_{1y}$ ,  $a_{0m}$ ,  $a_{2m}$ ,  $a_{1m}$  و  $a_{0f}$ ,  $a_{2f}$ ,  $a_{1f}$  را می‌توان بر اساس اطلاعات تجربی یک آزمایش فشار تکمحوری محصور نشده و تعدادی آزمایش فشاری محصور شده، بدست آورد. برای صفحه مقاومت حداکثر و صفحه مقاومت پسماند بترتیب در نقطه تنش حداکثر و تنش مقاومت پسماند نیز به اطلاعات فشار تکمحوری محصور شده و محصور نشده نیاز است. لازم به ذکر است که این هشت پارامتر بدست آمده برای بتون با مقاومت فشاری محصور نشده  $45/4$  مگاپاسکال می‌باشد [۱۳]. در این پژوهش روش تولید خودکار پارامتر در مدل کی-سی که با استفاده از تعداد زیادی آزمایش، ویژگی‌های مواد و داده‌هایی که قبلاً آمده است، به کار گرفته می‌شود [۱۷]. این مقادیر که به طور خودکار برای بتون با مقاومت فشاری محصور نشده  $170$  مگاپاسکال محاسبه می‌شود، در جدول ۱ ذکر شده است.

با این حال، از آنجایی که تولید پارامترهای خودکار در مدل کی-سی براساس اطلاعات بدست آمده از آزمایش بتون معمولی با مقاومت فشاری تکمحوری  $45/4$  مگاپاسکال بدست می‌آید [۱۸]، بنابراین ممکن است نشان دهنده رفتار واقعی از مواد با عملکرد بالا که دارای نقاط قوت بسیار بیشتری هستند، نباشد. بنابراین، قبل از استفاده از روش تولید پارامترهای خودکار برای تجزیه و تحلیل بتون با عملکرد خیلی بالا، لازم است قابلیت پارامترهای تولید خودکار در بیان رفتار این نوع بتون، بررسی شود. در این پژوهش رابطه تنش-کرنش نشان داده شده در شکل ۱ برای بررسی قابلیت مدل کی-سی در توصیف رفتار بتون با عملکرد خیلی بالا استفاده می‌شود.

مقادیر مهم تنش-کرنش بدست آمده از نمودار شکل ۱ در جدول ۲ نشان داده شده است.



شکل ۱- نمودار طراحی شده تنش-کرنش [۸] UHPFRC

### ۱-۱-۲- بررسی مدل کی-سی

در مدل کی-سی برای بیان رفتار بتون از سه صفحه مستقل با نام‌های صفحه مقاومت تسلیم، صفحه مقاومت حداکثر و صفحه مقاومت پسماند استفاده می‌شود. این صفحه‌ها به صورت رابطه‌های (۱) تا (۳) تعریف می‌شوند [۱۶]:

$$F_y = a_{0y} + \frac{p}{a_{1y} + a_{2y}p} \quad (1)$$

$$F_m = a_{0m} + \frac{p}{a_{1m} + a_{2m}p} \quad (2)$$

$$F_r = a_{0f} + \frac{p}{a_{1f} + a_{2f}p} \quad (3)$$

که در آن  $P$  فشار،  $F_y$ ،  $F_m$  و  $F_r$  و  $a_{ij}$  ( $i=0, 1, 2$  و  $j=y, m, f$ ) به ترتیب نشان دهنده صفحه مقاومت تسلیم، صفحه مقاومت حداکثر، صفحه مقاومت پسماند و پارامترهای مدل کی-سی می‌باشند. صفحه پلاستیسیته که برای نمایش کرنش سخت شوندگی استفاده می‌شود، از درون یابی صفحه مقاومت تسلیم و صفحه مقاومت حداکثر بدست می‌آید که می‌توان آن را بصورت رابطه (۴) نمایش داد:

$$F_h = \eta F_y + (1 - \eta)F_m \quad (4)$$

و به طور مشابه برای نمایش تنش نرم شوندگی، از درون یابی بین صفحه مقاومت حداکثر و صفحه مقاومت پسماند استفاده می‌شود که به صورت رابطه (۵) بیان می‌گردد [۱۶]:

$$F_s = \eta F_y + (1 - \eta)F_r \quad (5)$$

در رابطه‌های (۴) و (۵)،  $\eta$  به عنوان فاکتور مقیاس تسلیم تعریف می‌شود و  $\lambda$  تابع کرنش موثر پلاستیکی واحد می‌باشد [۱۶]:

$$\lambda = \begin{cases} \int_0^{\bar{\varepsilon}_p} \frac{d\bar{\varepsilon}_p}{(1 + \frac{p}{f_t})^{b_1}} & p \geq 0 \\ \int_0^{\bar{\varepsilon}_p} \frac{d\bar{\varepsilon}_p}{(1 + \frac{p}{f_t})^{b_2}} & p < 0 \end{cases} \quad (6)$$

در رابطه (۶)، نشان دهنده افزایش کرنش موثر پلاستیک و  $f_t$  مقاومت کششی شباهت‌آمیز بتون می‌باشد. از رابطه‌های (۴) تا (۶) می‌توان دریافت در مدل آسیب بتون به ترتیب پارامترهای  $b_1$  و  $b_2$  برای کنترل رفتار سخت شوندگی و نرم شوندگی بتون می‌باشد. بنابراین رفتار بتون به ویژه رفتار کرنش نرم شوندگی را می‌توان بر اساس رفتار واقعی بتون تغییر در این دو پارامتر تعیین نمود [۸].

جدول ۳- مشخصات پانل‌های بتونی

پانل	حجم الیاف فلزی		فاصله تا منجره (متر)	
	الیاف با ارتفاع ۱۳ میلیمتر	الیاف با ارتفاع ۲۵ میلیمتر		
A	٪۲	٪۰	٪۲/۴	۹
B	٪۲	٪۰	٪۳/۴	۷
C	٪۲	٪۰	٪۰/۳	۱۲
D	٪۲	٪۲	٪۰/۳	۱۲
E	٪۰	٪۰	٪۳/۴	۹

خاطر نشان می‌گردد که دو مقدار مختلف مقاومت فشاری و کششی نشان داده شده در جدول ۲ مربوط به دو مخلوط UHPFRC<sup>۱</sup> مورد استفاده در کارهای تجربی با درصدهای مختلف الیاف می‌باشد. [۱۲]. با استفاده از مدل توسعه یافته، تجزیه و تحلیل حساسیت به منظور بررسی اثر خواص فشاری و کششی انجام شد و نتایج نشان داد که رفتار پانل‌های UHPFRC تحت بارگذاری انفجاری به خواص کششی پانل‌ها مربوط است و تغییر در خواص فشاری، تاثیر قابل توجهی بر عملکرد آن‌ها ندارد [۲۰ و ۱۹]. بنابراین در پژوهش حاضر، رابطه تنش-کرنش در حالت کششی مدل شده است و با رابطه تنش-کرنش طراحی شده در شکل ۱ مقایسه می‌شود. لازم به ذکر است که منحنی شکل ۱ یک منحنی ایده‌آل است، در حالی که منحنی تنش-کرنش بدست آمده از آزمایش چنین خط صافی در مرحله سخت شوندگی کرنش را نشان نمی‌دهد. همچنین در آزمایش مشاهده می‌شود تنوع در جهت قرارگیری الیاف به وضوح در شکل منحنی تنش-کرنش تاثیر می‌گذارد [۱۰]. با این حال، کنترل آزمایش پس از شکستگی پانل دشوار است و مرحله نرم شوندگی کرنش در منحنی تنش-کرنش برای آزمون اندازه‌گیری نمی‌شود. بنابراین در این مطالعه، منحنی ایده‌آل برای پیکربندی مدل به کار گرفته خواهد شد و اثر اندازه در نظر گرفته نمی‌شود. شکل ۲ مقایسه نتایج حاصل از مدل منحنی تنش-کرنش را با استفاده از تولید پارامترهای خودکار با رابطه ایده‌آل، به تصویر می‌کشد و نشان می‌دهد که

جدول ۱- پارامترهای مدل برای پانل بتونی A

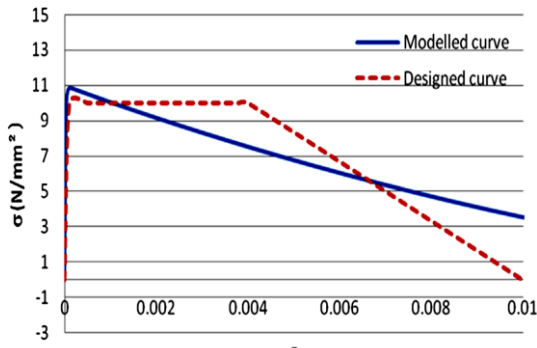
پارامترهای مدل	مقدار
$a_{0y}$	۵۰/۲۵
$a_{1y}$	۰/۴۵
$a_{2y}$	$۴/۷۵ \times 10^{-4}$
$a_{0m}$	۳۷/۹۴
$a_{1m}$	۰/۶۳
$a_{2m}$	$۱/۵۱ \times 10^{-3}$
$a_{1r}$	۰/۴۴
$a_{2r}$	$۶/۹۶ \times 10^{-4}$
$b_1$	۱/۶
$b_2$ (پیشفرض)	۱/۳۵
$b_2$ (اصلاحی)	-۲

جدول ۲- مقادیر مهم نمودار تنش کرنش شکل ۱ [۸]

فشر	کشن
مقاومت فشاری ( $\sigma_{c,p}$ ) پانل A,B,C	۱۷۰ Mpa
مقاومت کشنی ( $f_{dt}$ ) پانل A,B,C	۱۰ Mpa
مقاومت فشاری ( $\sigma_{c,p}$ ) پانل D	۱۹۰ Mpa
بیشینه کرنش ( $\epsilon_{c,1}$ ) خطی	۰/۰۰۰۱۱
محدوده کرنش ( $\epsilon_{t,p}$ ) کشنی	۰/۰۰۴
بیشینه کرنش ( $\epsilon_{c,u}$ ) کشنی	۰/۰۱
محدوده کرنش ( $\epsilon_{c,p}$ ) فشاری	۰/۰۰۴
بیشینه کرنش ( $\epsilon_{c,u}$ ) فشاری	۰/۰۰۷

در جدول ۳ نیز مشخصات مربوط به فاصله تا ماده منجره، حجم الیاف فلزی و میلگرد مصرفی برای پانل‌های بتونی بیان گردیده است. از آنجایی که پانل E با مقاومت فشاری محصور نشده  $45/4$  مگاپاسکال و با فاصله ۹ متر از ماده منجره می‌باشد و مقادیر پیش‌فرض مدل کی-سی نیز برای بتون با مقاومت  $45/4$  مگاپاسکال است؛ بنابراین نیازی به بدست آوردن نمودار تنش-کرنش برای پانل بتونی E نمی‌باشد.

<sup>۱</sup> Ultra High Performance Fiber Reinforced Concrete



شکل ۳- مقایسه رابطه تنش-کرنش تحت کشش با مقدار اصلاح شده  $b_2$  [۸]

**۳-۱-۲- اثر نرخ کرنش در مدل کی-سی**  
در مدل آسیب بتن، افزایش مقاومت در امتداد یک مسیر شعاعی و حداقل سطح شکست  $F_m$ ، رخ می‌دهد و کرنش موثر پلاستیک  $\lambda$  برای بیان اثر نرخ استفاده می‌شود. از آنجا که اثر نرخ کرنش با افزایش مقاومت فشاری و کششی در آزمایش‌ها همراه است، ضریب مقیاس  $r$  به صورت رابطه (۸) تعریف می‌شود [۱۶]:

$$r = \frac{f_{c,new}}{f_{c,old}} \quad (8)$$

که در آن  $f_{c,old}$  مقاومت فشاری بتن محصور نشده که پارامترهای مدل بر اساس این مقاومت تعیین شده‌اند و  $f_{c,new}$  مقاومت فشاری محصور نشده بتی است که مدل می‌شود. بنابراین حداقل سطح گسیختگی برای بتن با ویژگی‌های جدید برابر است با [۱۶]:

$$F_{new} = a_{0,new} + \frac{p}{a_{1,new} + a_{2,new}} \quad (9)$$

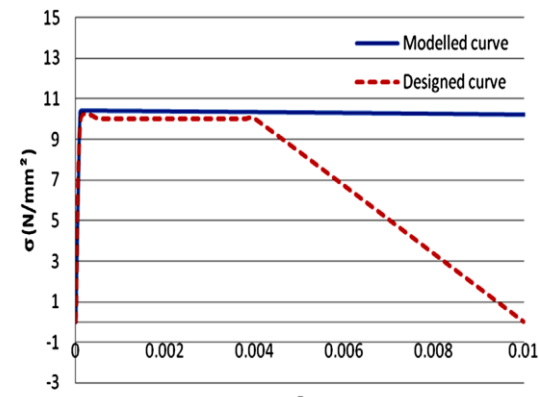
در رابطه (۹) مقادیر پارامترهای مجھول برابر است با:  
 $a_{0,new} = ra_0$ ,  $a_{1,new} = a_1$ ,  $a_{2,new} = a_2/r$  و  $a_1$ ,  $a_2$  پارامترهای مدل کی-سی می‌باشند که نحوه محاسبه این پارامترها در بخش ۲-۱-۲ توضیح داده شد. کرنش موثر پلاستیک  $\lambda$  نیز باید برای ربط دادن نرخ کرنش و ارزیابی آسیب واردہ تنظیم شود، در نتیجه رابطه (۶) به صورت رابطه (۱۰) اصلاح می‌گردد [۱۴]:

$$\lambda = \begin{cases} \int_0^{\bar{\varepsilon}_p} \frac{d\bar{\varepsilon}_p}{r(1 + \frac{p}{rf_t})^{b_1}} & p \geq 0 \\ \int_0^{\bar{\varepsilon}_p} \frac{d\bar{\varepsilon}_p}{r(1 + \frac{p}{rf_t})^{b_2}} & p < 0 \end{cases} \quad (10)$$

منحنی تنش-کرنش تولید شده از مدل کی-سی انعطاف پذیری بیشتری نسبت به منحنی طراحی شده دارد. با رویداشت به موارد یاد شده می‌توان نتیجه گرفت که مدل با تولید پارامترهای خودکار نمی‌تواند رفتار واقعی از پانل‌های UHPFRC را نشان دهد. با توجه به معادلات (۴) تا (۶)، انرژی شکست و همین طور رابطه تنش-کرنش، به ویژه رفتار نرم شوندگی کرنش را می‌توان با تنظیم مقدار  $b_2$  به دست آورد، در نتیجه برای مطابقت با نومادر طراحی شده مقدار  $b_2$  رامی‌توان اصلاح کرد. بنابراین  $b_2$  طوری تنظیم می‌شود که رابطه تنش-کرنش تولید شده از مدل کی-سی به منحنی تنش-کرنش طراحی نزدیک باشد. از شکل ۳ می‌توان دریافت که پس از اصلاح  $b_2$  منحنی تنش-کرنش مدل شده مطابقت بیشتری با منحنی طراحی ندارد، اگر چه رفتار سخت شوندگی را هنوز نمی‌توان در منحنی به واضح بیان کرد. لازم به ذکر است که برای اندازه مختلف المان مقدار  $b_2$  به منظور به دست آوردن همان رابطه تنش-کرنش تغییر می‌کند، دلیل این امر این است که با تغییرات اندازه المان، رابطه تنش-کرنش تغییر می‌کند که این تاثیر در رابطه (۷) نشان داده شده است [۱۰]:

$$\int \sigma d\varepsilon = G_f/h_c \quad (7)$$

که در آن  $G_f$  انرژی کرنش کششی و  $h_c$  اندازه المان است. جدول ۱ خلاصه‌ای از پارامترهای استفاده شده در مدل کی-سی می‌باشد که در جدول هر دو مقدار پیش فرض و اصلاح شده  $b_2$  ذکر شده است.



شکل ۲- مقایسه رابطه تنش-کرنش تحت کشش با مقدار پیش‌فرض  $b_2$  [۸]

## ۲-۲- معادله حالت جونز-ویلکینز- لی<sup>۳</sup> برای ماده منفجره

معادله حالت جونز-ویلکینز- لی به طور گستردگی در محاسبات مهندسی، برای مدل کردن فشار مننشر شده توسط انرژی حاصل از واکنش‌های شیمیایی، برای انفجار استفاده می‌شود. معادله حالت جونز-ویلکینز- لی را می‌توان به صورت رابطه [۲۲] نوشت:

$$P = A \left( 1 - \frac{\omega}{R_1 V} \right) e^{-R_1 V} + B \left( 1 - \frac{\omega}{R_2 V} \right) e^{-R_2 V} + \frac{\omega E}{V} \quad (13)$$

که در آن  $P$  فشار انفجار،  $E$  انرژی داخلی در واحد حجم،  $V$  حجم نسبی محصول انفجار و  $A$ ,  $R_1$ ,  $R_2$  و  $\omega$  ثابت‌های وابسته به جنس ماده منفجره می‌باشند که مقدار آنها توسط آزمایش قابل اندازه‌گیری است. برای ماده منفجره TNT مقدار پارامترهای رابطه حالت جونز-ویلکینز- لی در جدول ۴ آورده شده است [۲۳].

## ۲-۳- معادله حالت گرونیزن<sup>۴</sup> برای آب

معادله حالت گرونیزن فشار را برای مواد متراکم شده به صورت رابطه (۱۴) بیان می‌کند [۲۲]:

$$P = \frac{\rho_0 C^2 \mu [1 + \left(1 - \frac{\gamma_0}{2}\right) \mu - \frac{\alpha}{2} \mu^2]}{[1 - (S_1 - 1)\mu - S_2 \frac{\mu^2}{\mu+1} - S_3 \frac{\mu^3}{(\mu+1)^2}] + (\gamma_0 + \alpha\mu)E} \quad (14)$$

در حالت انبساط نیز فشار آب بصورت رابطه (۱۵) بدست می‌آید:

$$P = \rho_0 C^2 + \mu(\gamma_0 + \alpha\mu)E \quad (15)$$

در رابطه‌های (۱۴) و (۱۵)،  $E$  انرژی داخلی در واحد حجم است،  $C$  تقاطع منحنی  $v_p$  و  $S_1$ ،  $S_2$  و  $S_3$  و ضرایب  $\gamma_0$  و  $\mu$  می‌باشند. همچنین  $\rho_0$  چگالی اولیه، گامای گرونیزن،  $\alpha$  نخستین مرحله تصحیح حجم برای گرونیزن برای آب مطابق جدول ۵ می‌باشد.

زمانی که نرخ کرنش در بارگذاری بالا می‌باشد بايستی اثر نرخ کرنش برای تجزیه و تحلیل صحیح رفتار بتن، در نظر گرفته شود. با توجه به پژوهش‌های پیشین [۱۶ و ۲۱]، اثر نرخ کرنش در بتن در نرخ کرنش کم و بالا بترتیب به علت رطوبت و اثر اینرسی است، به طوری که روش مناسب برای بیان اثر نرخ کرنش برای مدل، در نظر گرفتن اثر اینرسی است. با این حال، در مدل آسیب بتن، اثر اینرسی در کشنش را نمی‌توان به طور مستقیم در نظر گرفت، بنابراین اثر نرخ کرنش با وارد کردن ضریب افزایش دینامیکی<sup>۱</sup> (DIF) در نرخ کرنش‌های متفاوت بیان می‌شود. علاوه بر این، برای المان با اندازه‌های مختلف مقدار ضریب افزایش دینامیکی مشابه برای همان نرخ کرنش بدست خواهد آمد [۱۴]، که این بدان معنی است که اندازه المان تاثیری در محاسبات نرخ کرنش ندارد. بنابراین در پژوهش حاضر در حالی که مقدار ضریب افزایش دینامیکی ثابت است، با انتخاب اندازه المان، انرژی شکست مطابق با نمودار طراحی شده تنش-کرنش در شکل‌های ۲ و ۳، تنظیم می‌شود. مقدار متغیر ضریب افزایش دینامیکی با نرخ کرنش تحت فشار و کشنش می‌تواند به ترتیب به صورت رابطه (۱۱) و (۱۲) بیان شود [۸ و ۹]:

$$DIF = \begin{cases} \left(\frac{\dot{\epsilon}}{\dot{\epsilon}_s}\right)^{1.026\alpha} & \dot{\epsilon} \leq \dot{\epsilon}_1 \\ A_1 \ln(\dot{\epsilon}) - A_2 & \dot{\epsilon} > \dot{\epsilon}_1 \end{cases} \quad (11)$$

که در رابطه (۱۱)،  $\dot{\epsilon}$  نرخ کرنش،  $\dot{\epsilon}_s$  نرخ کرنش شبه استاتیکی و برابر با  $3 \times 10^{-5}$  واحد بر ثانیه،  $A_1$  برابر با ۷۹ واحد بر ثانیه،  $A_2 = -0.0044 f_{cs} + 0.9866$  و مقدار پارامتر  $f_{cs} = 2.1396 f_{co} + 0.0128 f_{cs}$  می‌باشد.

$$DIF = \begin{cases} \left(\frac{\dot{\epsilon}}{\dot{\epsilon}_s}\right)^\delta & \dot{\epsilon} \leq \dot{\epsilon}_1 \\ \beta \left(\frac{\dot{\epsilon}}{\dot{\epsilon}_s}\right)^{1/3} & \dot{\epsilon} > \dot{\epsilon}_1 \end{cases} \quad (12)$$

در رابطه (۱۲)،  $\dot{\epsilon}$  نرخ کرنش شبه استاتیکی و برابر با  $10^{-5}$  واحد بر ثانیه،  $f_{cs}$  مقاومت فشاری استاتیکی بتن،  $f_{co} = 10 Mpa$  و در نهایت  $\log \beta = 7.118 - 2.33$  می‌باشد.

<sup>2</sup> Equation of State Jones-Wilkins-Lee (JWL)

<sup>3</sup> Trinitrotoluene

<sup>4</sup> Gruneisen

<sup>1</sup> Dynamic Increase Factors (DIF)

برای مدلسازی انفجار در هوا از دو روش تابع انفجار کان و پ<sup>۳</sup> و لاغرانژی-اویلری دلخواه استفاده می‌شود و انفجار زیر آب نیز با روش لاغرانژی-اویلری دلخواه مدل‌سازی می‌شود. در روش کان و پ، بار انفجار توسط یک تابع فشار که جایگزین انتشار موج است، بیان می‌شود. به منظور شبیه‌سازی انفجار به روش کان و پ نیاز به تعیین جرم معادل TNT با استفاده از رابطه (۱۸)، تعیین نوع انفجار (سطحی یا هوایی) و محل قرارگیری ماده منفجره، است. فشار انفجار در روش کان و پ از طریق رابطه (۱۷) بدست می‌آید [۲۴].

$$P(t) = P_{so} \left( 1 - \frac{t - t_a}{t_d} \right) \exp \left( \frac{-a(t - t_a)}{t_d} \right) \quad (17)$$

$$M_{TNT} = M \frac{DCJ^2}{DCJ_{TNT}^2} \quad (18)$$

در رابطه (۱۷)،  $P(t)$  فشار انفجار،  $t_a$  زمان رسیدن اولین موج انفجار به هدف،  $t_d$  مدت زمان فاز ثابت فشار انفجار،  $a$  ضریب کاهشی و  $P_{so}$  مقدار بیش فشار موج انفجار در هنگام برخورد با هدف می‌باشد. در رابطه (۱۸) نیز، جرم معادل TNT،  $M$  جرم ماده منفجره،  $DCJ_{TNT}$  سرعت جرقه<sup>۴</sup> چیمن-جوگوت<sup>۵</sup> برای TNT و  $DCJ$  سرعت جرقه چیمن-جوگوت برای ماده را نشان می‌دهد. مقدار سرعت جرقه چیمن-جوگوت را می‌توان برای هر ماده منفجره با استفاده از نتایج آزمایشگاهی بدست آورد [۲۲]. در روش لاغرانژی اویلری دلخواه بار انفجار از طریق پیشروی موج، به هدف اعمال می‌گردد. محیط پیرامونی پانل بتتی نیز باید براساس روش لاغرانژی-اویلری دلخواه بصورت شکل ۴ برای انفجار در هوا و مطابق شکل ۷ برای انفجار زیر آب، تعریف شود. ابعاد محیط بدست آمده در شکل‌های ۴ و ۷ به دلیل آنالیز حساسیت جابجایی بدست آمده نسبت به ابعاد محیط می‌باشد. در روش لاغرانژی اویلری، انتقال و دوران شبکه‌بندی توسط یک الگوریتم شبکه کنترل می‌گردد. این موضوع کاربر را قادر می‌سازد که مرزهای متحرک، سطوح آزاد و تغییر شکل‌های بزرگ را به نحوه بهتری شبیه‌سازی نماید.

جدول ۴- پارامترهای معادله حالت جونز-ویلکینز- لی

$\rho$ (kg/m <sup>3</sup> )	A (Pa)	B (Pa)	R <sub>1</sub>
1630	$3.712 \times 10^{11}$	$3.231 \times 10^9$	4.15
R <sub>2</sub>	$\omega$	E (J/m <sup>3</sup> )	
0.95	0.3	$7.00 \times 10^9$	

جدول ۵- پارامترهای معادله حالت گرونیزن

$\rho_0$ (kg/m <sup>3</sup> )	C (m/s)	S <sub>1</sub>
1025	1480	2.56
S <sub>2</sub>	S <sub>3</sub>	$\gamma_0$
1.986	1.2268	0.35
V <sub>0</sub>	E (J/m <sup>3</sup> )	$\alpha$
1.00	$1.89 \times 10^6$	0

#### ۴-۲- معادله حالت چند جمله‌ای خطی<sup>۱</sup> برای هوا

معادله حالت چند جمله‌ای خطی برای توصیف رفتار هوا استفاده می‌شود. فشار  $P$  بصورت رابطه (۱۶) بیان می‌شود:

$$P = C_0 + C_1\mu + C_2\mu^2 + C_3\mu^3 + (C_4 + C_5\mu + C_6\mu^2)E \quad (16)$$

در رابطه (۱۶)،  $E$  انرژی اولیه در واحد حجم است. فشردگی مواد با استفاده از رابطه  $\mu = \rho/\rho_0 - 1$  بیان می‌شود، که در حالت  $\mu$  چگالی جریان و  $\mu_0$  چگالی اولیه می‌باشد.

برای گازهای کامل، ضرایب رابطه حالت چند جمله‌ای خطی  $0 = C_2 = C_3 = C_4 = C_5 = C_6 = C_0 = C_1$  و  $1/293 \text{ kg/m}^3$  همچنین چگالی و انرژی داخلی هوا بترتیب  $2/5 \times 10^5 \text{ J/m}^3$  می‌باشد [۲۳].

#### ۳- مدل‌سازی پانل‌های UHPFRC تحت بارگذاری انفجار

##### ۳-۱- ساخت مدل برای انفجار در هوا و آب به روش لاغرانژی اویلری دلخواه<sup>۲</sup>

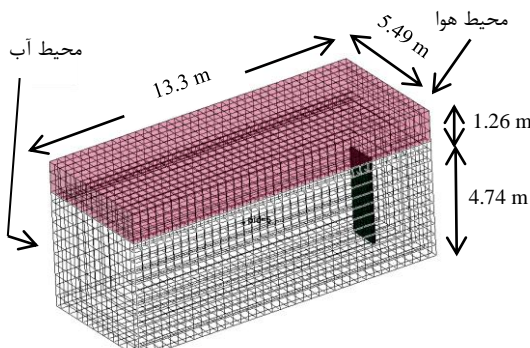
<sup>3</sup> CONWEP Blast Function

<sup>4</sup> Detonation

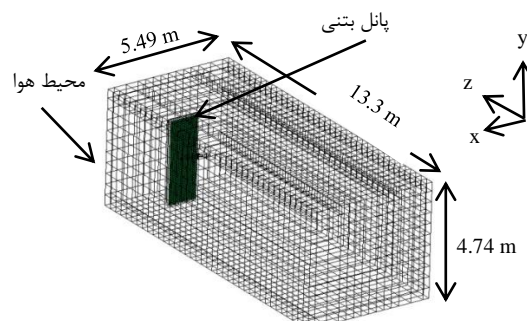
<sup>5</sup> Chapman-Jouguet

<sup>1</sup> Linear Polynomial

<sup>2</sup> Arbitrary Lagrangian-Eulerian (ALE)



شکل ۷- مشبندی محیط هوا و آب



شکل ۴- ابعاد محیط هوا

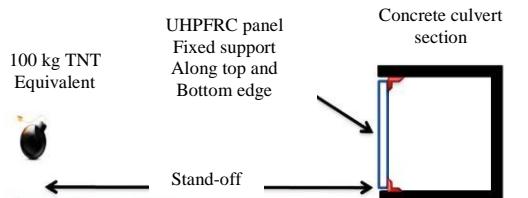
برای مدل سازی ویژگی های پانل E نیز از جدول ۶ استفاده می شود.

### ۲-۳- ساخت مدل برای انفجار در هوا به روش تابع انفجار کانوپ

در مدل تابع انفجار کانوپ نیازی به معرفی محیط پیرامونی پانل بتنی نیست. مطابق شکل ۵ انتقال و چرخش لبه بالا و پایین پانل بتنی محدود شده است. پانل UHPFRC با استفاده از مدل کی-سی بتن و با تغییراتی که در قسمت ۲-۱-۲ توضیح داده شد، مدل سازی می شود. معادله حالت هشتم<sup>۲</sup> در برنامه ال اس داینا برای بدست آوردن رابطه بین فشار و کرنش حجمی بتن به کار گرفته می شود. اندازه المان در نرم افزار  $20 \times 20 \times 5$  میلی متر می باشد. جدول ۷ فهرستی از خواص مکانیکی پانل بتنی و میلگرد فولادی را نشان می دهد. الیاف فلزی بطور مستقیم در نرم افزار مدل نمی شود و اثر آن از تطابق منحنی تنش-کرنش مدل با نمونه واقعی بتن الیافی بدست می آید. میلگرد فولادی با ماده نوع #۳<sup>۳</sup> در ال اس داینا شبیه سازی می شود و اتصال بین بتن و آرماتور با به اشتراک گذاشتن گره بین عناصر بتن و آرماتور به دست می آید.

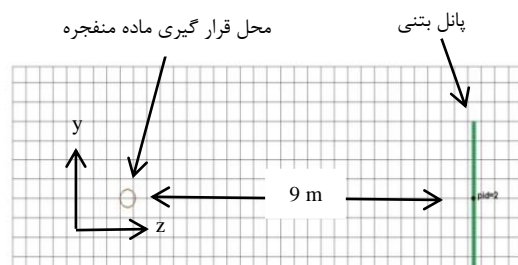
### ۴- نتایج مدل سازی پانل بتنی در مقابل انفجار

در این قسمت به بررسی نتایج مدل سازی انفجار زیر آب و هوا پرداخته می شود. ابتدا به مقایسه روش مدل سازی کانوپ



شکل ۵- نحوه قرار گیری پانل بتنی در مقابل بار انفجار

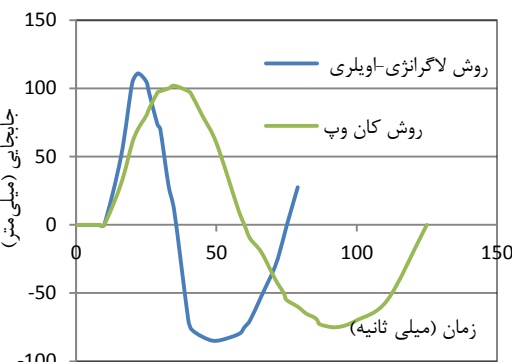
در مدل سازی، ماده منفجره بصورت مستقیم مدل نشده است اما محل قرار گیری و هندسه ماده منفجره مطابق شکل ۶ و خصوصیات مواد TNT نیز با استفاده از ماده نوع #۸<sup>۱</sup> در نظر گرفته شده است. در این پژوهش، پانل UHPFRC بر اساس ابعاد  $1/3 \times 3/5 \times 1/10$  متر و شرایط مرزی واقعی مدل سازی می شود. همچنین برای ساده سازی در این شبیه سازی اثر کالورت بزرگ بتنی به عنوان شرایط تکیه گاهی در نظر گرفته شده و مستقیماً مدل نشده است (شکل ۵).



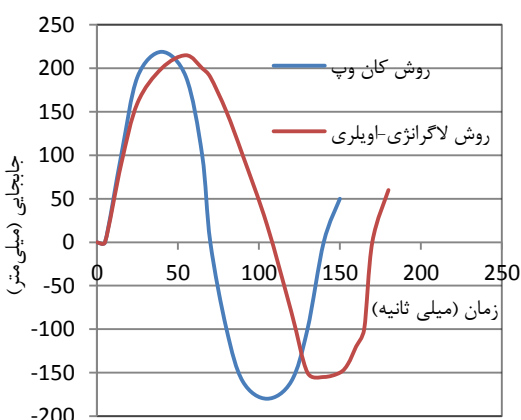
شکل ۶- محل قرار گیری ماده منفجره

<sup>2</sup> EOS\_TABULATED\_COMPACTION  
<sup>3</sup> MAT\_PLASTIC\_KINEMATIC

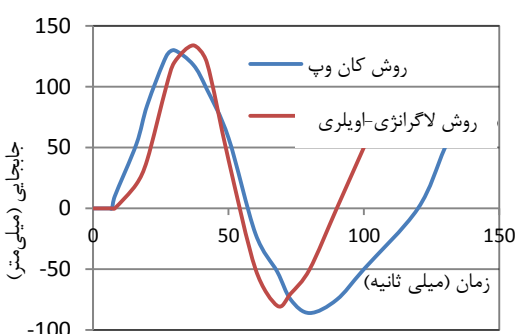
<sup>1</sup> MAT\_HIGH\_EXPLOSIVE\_BURN



شکل ۸- جابجایی پانل A برای انفجار در هوا



شکل ۹- جابجایی پانل B برای انفجار در هوا



شکل ۱۰- جابجایی پانل E برای انفجار در هوا

در رابطه (۱۹)،  $m$  جرم معادل سیستم،  $c$  میرایی معادل سیستم،  $k$  سختی معادل سیستم و  $F(t)$  نیروی معادل وارد بر سیستم می‌باشد. برای ساده‌سازی از میرایی چشم‌پوشی می‌شود. مقدار سختی سیستم را می‌توان از رابطه (۲۰) که

با لاغرانژی اویلری دلخواه و نتایج آزمایشگاهی برای انفجار در هوا و روش سیستم تک درجه آزادی معادل با روش لاغرانژی-اویلری دلخواه برای انفجار زیر آب، پرداخته خواهد شد. سپس نتایج بیشینه جابجایی پانل‌های بتونی مقایسه شده و در انتها خسارت وارد بر پانل‌های بتونی نیز مورد بررسی قرار می‌گیرد. بدین منظور و با توجه به شکل‌های ۹، ۸ و ۱۰ برتریب مقدار جابجایی برای پانل A، B و E و با دقت خوبی پیش‌بینی شده است. اختلاف فاز زمانی رسیدن به بیشینه جابجایی در شکل ۸ به دلیل تاثیر ابعاد محیط در روش لاغرانژی-اویلری دلخواه است. با توجه به اینکه مقدار آزمایشگاهی برای پانل E وجود ندارد در نتیجه برای صحت سنجی این جابجایی از دو روش لاغرانژی-اویلری و روش کان وپ استفاده شده است که الگو و مقدار جابجایی تقریباً یکسانی در شکل ۱۰ از خود نشان داده‌اند.

جدول ۶- مشخصات مکانیکی پانل E

مشخصه	مقدار
مقاومت فشاری استاتیکی بتن	۴۵/۴ Mpa
استحکام کششی استاتیکی بتن	۳/۷۷ Mpa
چگالی بتن	۲۴۵·kg/m³

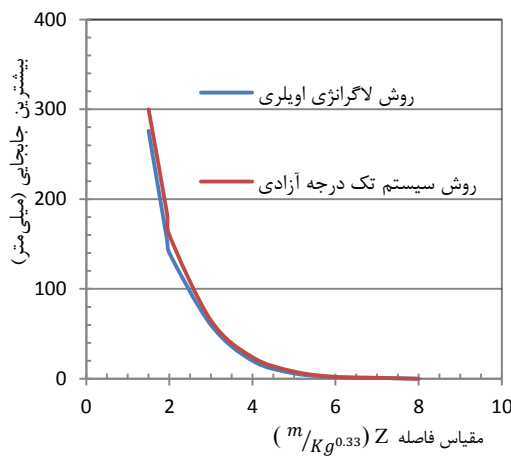
جدول ۷- مشخصات پانل بتونی UHPFRC

مشخصه	مقدار
مقاومت فشاری استاتیکی بتن	۱۷·MPa
استحکام کششی استاتیکی بتن	۱۰·MPa
چگالی بتن	۲۴۵·Kg/m³
مدول یانگ فولاد	۲۰۰·GPa
مقاومت نهایی فولاد	۱۶۸·MPa

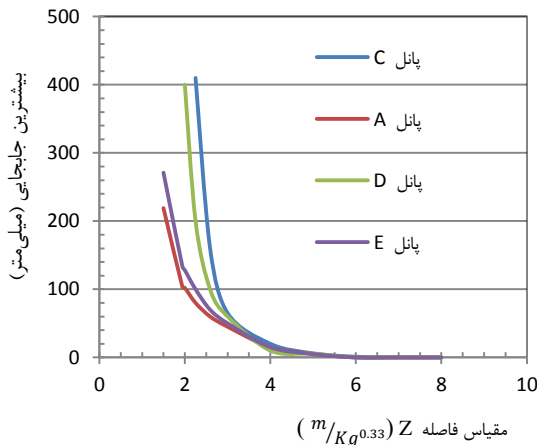
از آنجایی که مقدار آزمایشگاهی برای صحت‌سنجی، انفجار زیر آب وجود ندارد باید روشی جایگزین پیشنهاد داد، برای این منظور می‌توان از روش سیستم تک درجه آزادی<sup>۱</sup> استفاده کرد. بطور کلی معادله سیستم تک درجه آزادی مطابق رابطه (۱۹) می‌باشد [۲۵]:

<sup>۱</sup> Single Degree Of Freedom System (SOFD)

در رابطه (۲۴)،  $R$  فاصله هدف تا ماده منفجره و  $m$  جرم ماده منفجره می‌باشد. با رویداشت به موارد یاد شده جابجایی برای انفجار زیر آب با استفاده از روش سیستم تک درجه آزادی، بدست می‌آید و با روش لاگرانژی-اویلری مقایسه می‌شود که در شکل ۱۲ نشان داده است. همچنین برای مقایسه جابجایی پانل‌ها با یکدیگر از شکل ۱۳ و ۱۴ استفاده می‌شود.



شکل ۱۲- مقایسه بیشترین جابجایی‌های پانل A برای انفجار زیر آب



شکل ۱۳- مقایسه بیشترین جابجایی‌های پانل‌ها برای انفجار در هوا به روش کانوپ

$$\text{مربوط به تیر دو سر گیردار می‌باشد بدست آورد [۲۵]:} \\ k = \frac{192EI}{L^3} \quad (۲۰)$$

در رابطه (۲۰)،  $E$  مدول الاستیسیته پانل،  $I$  ممان اینرسی پانل و  $L$  طول دهنده پانل بتنی می‌باشد. برای بدست آوردن مقدار نیروی وارد بر سیستم ابتدا لازم است که مقدار فشار انفجار زیر آب محاسبه شود و سپس با ضرب مساحتی که فشار بر آن وارد می‌شود، بدست خواهد آمد. برای محاسبه فشار انفجار زیر آب از رابطه کل<sup>۱</sup> استفاده می‌شود. این رابطه توسط رابطه (۲۱) بیان می‌شود [۲۶].

$$p(t) = p_m e^{-t/\theta} \quad (۲۱)$$

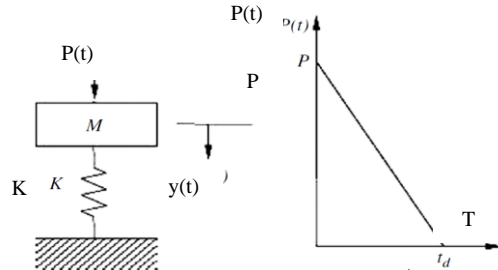
$$\theta = K_2 W^{1/3} \left( \frac{W}{R} \right)^{\alpha_2} \quad (۲۲)$$

$$p_m = K_1 \left( \frac{W}{R} \right)^{\alpha_1} \quad (۲۳)$$

در رابطه (۲۱)،  $p_m$  نشان دهنده فشار بیشینه در جهت جبهه شوک،  $t$  نشان دهنده زمان و  $\theta$  نیز ثابت کاهشی زمانی است. پارامترهای  $W$ ،  $R$ ،  $K_1$  و  $K_2$  بترتیب وزن ماده منفجره، فاصله تا ماده منفجره و ثابت‌های مدل کل برای ماده منفجره می‌باشند. همانند شکل ۱۱ برای سادگی در حل رابطه (۱۹) می‌توان نیروی ماده منفجره را با نیروی مثلثی تخمین زد.

از طرفی نیز به منظور مقایسه جابجایی حداکثر پانل‌ها و کاهش حجم نمودارها از تعریف مقیاس فاصله استفاده می‌شود. طبق تعریف مقیاس فاصله همانند رابطه (۲۴) بیان می‌گردد [۲۷]:

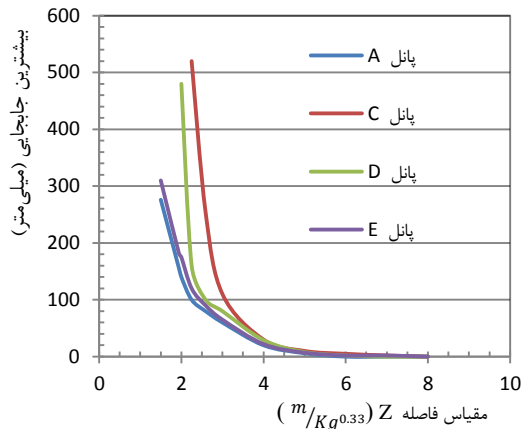
$$Z = \frac{R}{m^{0.33}} \quad (۲۴)$$



شکل ۱۱- سیستم تک درجه آزادی و نیروی معادل وارد بر سیستم

<sup>۱</sup>Cole

جدول ۸- مقایسه بیشینه جابجایی برای پانل‌های بتونی				
	پانل	روش کار	برای انفجار در	بیشینه جابجایی
		نتایج آزمایشگاهی [۸]	هوا (میلیمتر)	آب (میلیمتر)
۱۵۶	A	روش لاغرانزی-اویلری	برای انفجار زیر آب	۱۱۰
۱۷۰		روش کانوپ		---
		روش تک درجه آزادی		۲۱۰
۲۷۶	B	روش لاغرانزی-اویلری	برای انفجار زیر آب	۲۱۹
		روش کانوپ		---
۳۰۰		روش تک درجه آزادی		---
		نتایج آزمایشگاهی [۸]		۱۸۰
۲۵۵	C	روش لاغرانزی-اویلری		۱۶۰
		روش کانوپ		۱۷۳
۲۸۰		روش تک درجه آزادی		---
		نتایج آزمایشگاهی [۸]		۹۰
۱۴۶	D	روش لاغرانزی-اویلری		۱۰۲
		روش کانوپ		۱۰۰
۱۶۰		روش تک درجه آزادی		---
		نتایج آزمایشگاهی [۸]		---
۱۸۳	E	روش لاغرانزی-اویلری		۱۳۴
		روش کانوپ		۱۳۰
۲۰۱		روش تک درجه آزادی		---

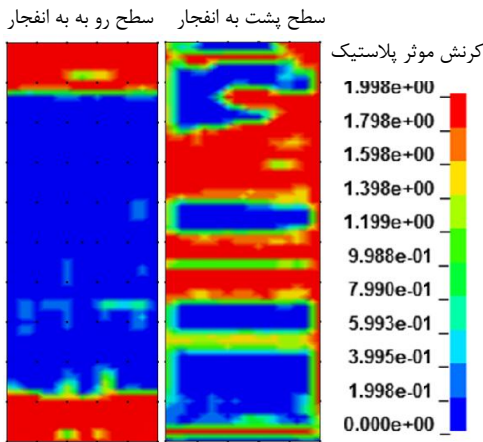


شکل ۱۴- مقایسه بیشترین جابجایی‌های پانل‌ها برای انفجار زیر آب به روش لاغرانزی-اویلری

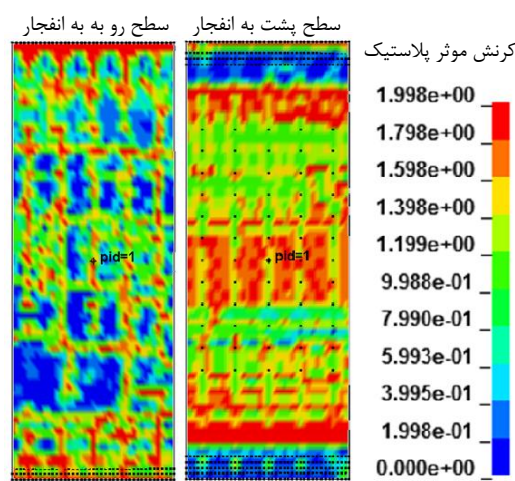
از آنجایی که تنها تفاوت پانل‌های A و B در فاصله قرارگیری از ماده منفجره است بنابراین نیازی به رسم جابجایی هردو پانل A و B در شکل‌های ۱۳ و ۱۴ نیست. با مشاهده شکل ۱۲ و مقایسه نتایج شبیه‌سازی با نتایج سیستم تک درجه آزادی به تطابق خوب نتایج با یکدیگر پی برد خواهد شد. با توجه به شکل ۱۳ و ۱۴ مقدار حداقل جابجایی برای پانل E بیشتر از پانل A که درصد میلگرد یکسانی دارد، برای فواصل مختلف بارگذاری بیشتر است و این به معنی بهتر شدن ویژگی‌های پانل A با استفاده از الیاف فلزی می‌باشد. با این وجود جابجایی پانل E که الیافی در آن استفاده نشده است، تا حدود ۴۶ میلیمتر کمتر از پانل‌های D و C می‌باشد. این به معنای تاثیر بالای حجم میلگرد در بهتر شدن ویژگی‌های پانل‌های بتونی در مقابل بارگذاری انفجار است، بنابراین درصد میلگرد مصرفی در درجه اهمیت بالاتری نسبت به درصد الیاف مصرفی می‌باشد.

جدول ۸ بیشینه جابجایی بالاتر تا حدود ۷۴ میلیمتر پانل‌های بتونی برای انفجار زیر آب نسبت به انفجار در هوا را نشان می‌دهد و علت این امر بخاطر تراکم تاپذیری و بیشتر بودن چگالی آب از هوا است که باعث می‌شود تا آب محیطی بسیار مناسب برای انتقال موج شوک حاصل از انفجار باشد [۲۴]. همچنین با توجه به جدول ۸ مقدار جابجایی برای انفجار در هوا با خطای نسبی کمتر از  $13/3$  درصد پیش‌بینی

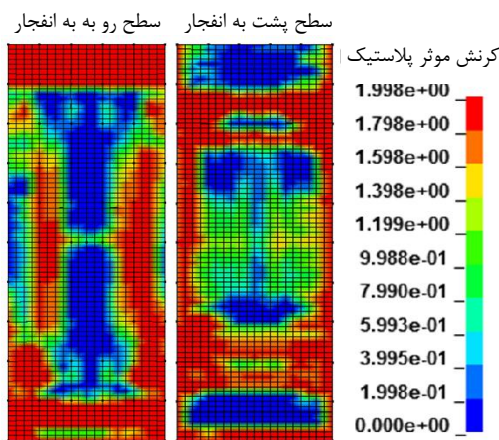
شده است. از آنجایی که بیشینه جابجایی به تنها بی معیار مناسبی برای مقایسه کارایی پانل‌ها بتونی نیست برای تکمیل مقایسه بین مقاومت پانل‌ها از معیار خسارت واردہ استفاده می‌شود. خسارت واردہ در واقع نشان دهنده مقدار عددی کرنش موثر پلاستیک می‌باشد. شکل ۱۵ و ۱۶ خسارت بیشتر برای انفجار زیر آب در مقایسه با انفجار در هوا برای پانل E را نشان می‌دهد.



شکل ۱۷- خسارت واردہ بر پانل A برای انفجار زیر آب

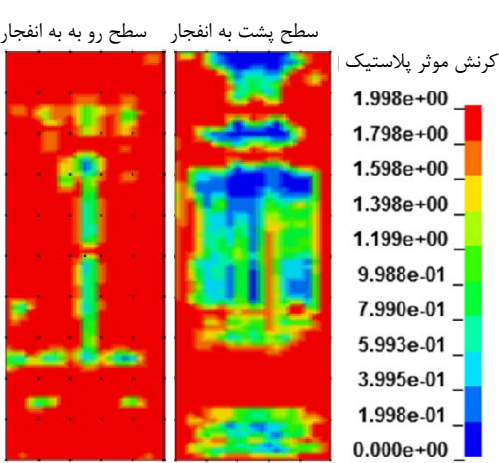


شکل ۱۸- خسارت واردہ بر پانل E برای انفجار در هوا

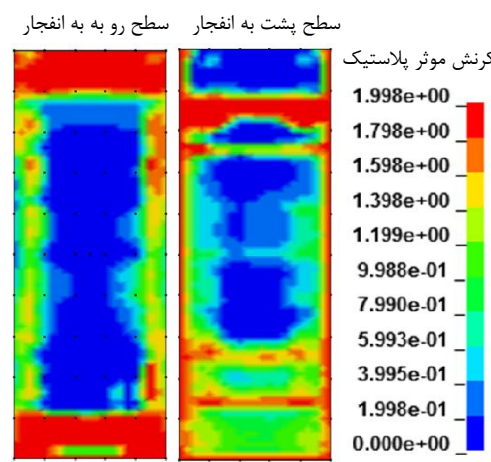


شکل ۱۹- خسارت واردہ بر پانل C برای انفجار زیر آب

همچنین با مقایسه شکل‌های ۱۵ تا ۲۰ به ترتیب از بیشترین خسارت تا کمترین خسارت مربوط به پانل‌های C, D, E, B و A می‌باشد که این نتیجه با نتایج مربوط به مقایسه بیشینه جابجایی همخوانی دارد. در شکل‌های ۱۵ و ۱۷ خسارت سطح پشت به انفجار بیشتر از سطح رو به انفجار است و این نتیجه بیانگر وجود تنش‌های کششی بوجود آمده بیشتر در سطح پشت به انفجار است. اما در شکل‌های ۱۶، ۱۸، ۱۹ و ۲۰ سطح رو به انفجار خسارت بیشتری را تجربه کرده است و دلیل این امر وجود فشار منفی بیشتر در انفجار زیر آب می‌باشد.

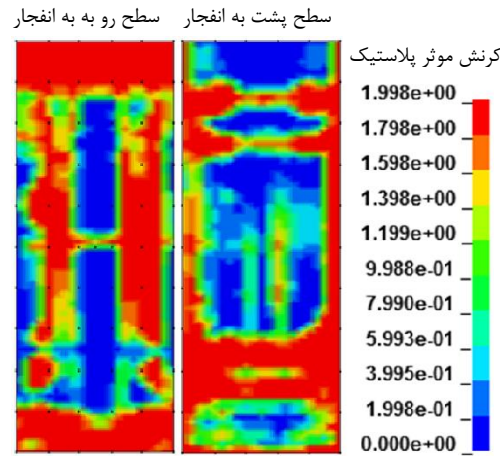


شکل ۲۰- خسارت واردہ بر پانل E برای انفجار زیر آب



شکل ۲۱- خسارت واردہ بر پانل E برای انفجار زیر آب

- [۲] زمانی ج، رفاهی اسکوئی ا (۱۳۸۸) تحلیل تجربی تأثیرات نرخ کرنش بر رفتار سازه‌های بتونی در بارگذاری حاصل از انفجار و معرفی یک مدل ریاضی جدید رفتاری بتون. مجله علمی و پژوهشی شریف ۴۸: ۷۳-۸۱.
- [۳] Leppanen J (2004) Concrete structures subjected to fragment impacts-dynamic behaviour and material modelling [Ph.D thesis]. Sweden: Chalmers University of Technology.
- [۴] Nystrom U (2008) Concrete structures subjected to blast and fragment impacts. Licentiate thesis department of structural engineering, concrete structures, chalmers university of technology, Goteborg.
- [۵] Zhenguo T, Yong L (2010) Modifications of RHT material model for improved numerical simulation of dynamic response of concrete. Int J Impact Eng 37: 1072-1082.
- [۶] Gebbeken N, Greulich S (2003) Behavior of steel fiber reinforced concrete building structures under contact detonation: Simulation model for steel fiber reinforced concrete. Final Report 2002 reports of the Chair for Structural Analysis, University of the Federal Armed Forces Munich.
- [۷] Lei M, Stephanie B (2014) Numerical simulation of ultra high performance fibre reinforced concrete panel subjected to blast loading. Int J Impact Eng 64: 91-100.
- [۸] Bhargava P, Sharma UK, Kaushik SK (2006) Compressive stress-strain behaviour of small scale steel fiber reinforced high strength concrete cylinders. J Adv Concr Technol 4(1): 109-21.
- [۹] Nicholas L, Michael J, Tait M, Wael W, El-Dakhakhni F, Waleed F (2016) response analysis of reinforced concrete block infill panels under blast. J Perform Constr Facil.
- [۱۰] Barnett SJ, Lataste JF, Parry T, Millard SG, Soutsos MN (2010) Assessment of fibre orientation in ultra high performance fibre reinforced concrete and its effect on flexural strength. Mater Struct 43(7): 1009-1023.
- [۱۱] Gupta A, Mendis P, Ngo T, Lumantarna R (2007) An investigation on the performance of structural components subjected to full-scale blast tests in Woomera, Australia. In: Performance, protection, and strengthening of structures under extreme loading. Whistler, Canada.
- [۱۲] Ngo T, Mendis P, Krauthammer T (2007) Behaviour of ultrahigh-strength prestressed concrete panels subjected to blast loading. J Struct Eng. 133(11): 1582-1590.
- [۱۳] Tu ZG, Lu Y (2009) Evaluation of typical concrete material models used in hydrocodes for high dynamic response simulations. Int J Impact Eng 36(1): 132-46.



شکل ۲۰- خسارت واردہ بپانل D برای انفجار زیر آب

## ۵- نتیجه گیری و جمع بندی

در پژوهش حاضر به شبیه‌سازی عددی انفجار در هوا و زیر آب با استفاده از نرم‌افزار اس داینا پرداخته شد و نتایج بدست آمده با نتایج آزمایشگاهی برای انفجار در هوا و نتایج سیستم تک درجه آزادی برای انفجار زیر آب، مورد صحت سنجی قرار گرفت. نتایج آزمایشگاهی و شبیه‌سازی برای انفجار در هوا و نتایج سیستم تک درجه آزادی و شبیه‌سازی برای انفجار زیر آب، تطابق مناسبی با خطا نسبی کمتر از ۱۳/۳ درصد که حاکی از صحت نتیجه شبیه‌سازی می‌باشد. همچنین نتایج بیانگر بیشینه جابجایی بالاتر تا حدود ۷۴ میلیمتر در انفجار زیر آب نسبت به انفجار در هوا می‌باشد که این امر ضریب اطمینان بالاتری را برای طراحی سازه‌های هیدرولیکی در مقابل بارهای انفجاری می‌طلبد. از طرفی تأثیر مستقیم میلگرد فولادی نسبت به الیاف فلزی برای پانل‌های بتونی بدست آمد. بنا براین برای سازه‌هایی که احتمال بارگذاری انفجاری در آن وجود دارد در وهله اول افزایش حجم میلگرد برای مقاوم سازی سازه‌های بتونی بجای استفاده از بتون با مقاومت بالا توصیه می‌شود.

## ۶- مراجع

- [۱] حشمی م، زمانی ج (۱۳۹۴) مطالعه عددی تأثیر پارامترهای هندسی تیوب شوک مخروطی انفجار زیر آب، بر عملکرد و بیشینه فشار تولیدی به منظور اریه رابطه جرم معادل. مجله مهندسی مکانیک مدرس ۳۲۱-۳۲۸ (۷): ۱۶.

- [20] Wille K, El-Tawil S, Naaman AE (2014) Properties of strain hardening ultra high performance fiber reinforced concrete (UHP-FRC) under direct tensile loading. *Cem Concr Compos* 48, 53-66.
- [21] Arowojolu O, Rahman MK, Hussain BM (2017) Dynamic response of reinforced concrete bridge piers subjected to combined axial and blast loading. Proceedings of the Structures Congress, Denver, Colorado, April 6–8.
- [22] Livermore Software Technology Corporation (2006) LS-DYNA keyword user's manual. California: Livermore Software Technology Corporation.
- [23] Fordham S (1980) High explosives and propellants, Pergamon Press, Elmsford, NY, USA, 2nd edn.
- [24] Hyde D (1988) User's Guide for Microcomputer Programs ConWep and FUNPRO Applications of TM, Fundamentals of Protective Design for Conventional Weapons, US Army Engineers.
- [25] Biggs JM (1964) Introduction to structural dynamics. McGraw-Hill, New York.
- [26] Cole R (1948) Underwater Explosions. Princeton University Press, Princeton, N.J.
- [27] Needham C (2010) Blast Waves. Springer, Berlin.
- [14] Malvar LJ, Crawford JE, Morrill KB (2000) K&C concrete material model release III automated generation of material model input. K&C Technical Report TR-99-24-B1. Glendale, CA. Livermore Software Technology Corporation.
- [15] Odeh AA (2008) Modelling and simulation of bogie impacts on concrete bridge rails using LS-DYNA. In: 10th International LS-DYNA users conference. Dearborn, Michigan, USA.
- [16] Malvar LJ, Crawford JE, Wesevich JW, Simons D (1997) A plasticity concrete material model for DYNA3D. *Int J Impact Eng* 19(9-10): 847-873.
- [17] Youcui Wu, John EC, Wesevich JW (2015) Numerical modeling of concrete using a partially associative plasticity model. *J Eng Mech* 141(12) 04015051.
- [18] Magallanes JM, Wu Y, Malvar LJ, Crawford JE (2010) Recent developments to release III of the K&C concrete model. In: Proceedings of the 11th international LSDYNA user's conference. Dearborn, MI.
- [19] Hassan AMT, Jones SW, Mahmud GH (2012) Experimental test methods to determine the uniaxial tensile and compressive behaviour of ultra high performance fibre reinforced concrete (UHPFRC). *Constr Build Mater* 37: 874-882.